



بهینه‌سازی چند هدفه فرآیند شکل‌دهی دمشی در دماهای بالا برای تولید قطعات مربعی

مهرداد نصرالله زاده^۱, جواد شهبازی کرمی^۲, حسن مسلمی نائینی^{۳*}, سید جلال هاشمی^۴,
حسین محمدی نجف آبادی^۵

- ۱- دانشجوی کارشناسی ارشد، دانشکده مهندسی مکانیک، دانشگاه تربیت مدرس، تهران
- ۲- دانشجوی دکتری، دانشکده مهندسی مکانیک، دانشگاه تربیت دبیر شهید رجایی، تهران
- ۳- استاد، دانشکده مهندسی مکانیک، دانشگاه تربیت مدرس، تهران
- ۴- استادیار، دانشکده مهندسی مکانیک، مؤسسه آموزش عالی کار، قزوین
- ۵- دانشجوی دکتری، دانشکده مهندسی مکانیک، دانشگاه تربیت مدرس، تهران
* تهران، صندوق پستی ۱۴۱۱۵-۱۴۳، moslemi@modares.ac.ir.

چکیده

شکل‌دهی دمشی فلز در دماهای بالا فرآیندی است برای شکل‌دادن فلزاتی از قبیل آلومینیوم، منیزیم و تیتانیوم که شکل‌پذیری پایین‌یار است. احتشام بالایی در دماهای اتفاق دارند و با افزایش دماهای فرآیند تا دماهایی بالاتر از دماهای تبلور مجدد فلز، شکل‌پذیری آن‌ها افزایش و استحکام‌شان کاهش قابل توجهی پیدا می‌کند. در این فرآیند برای تولید قطعاتی با خواص مطلوب، تعیین میزان بهینه برای پارامترها ضروری می‌باشد. در این تحقیق فرآیند شکل‌دهی دمشی در دماهای بالا با استفاده از نرم‌افزار آباکوس شبیه‌سازی شد و توسط نتایج شبیه‌سازی، نحوه تأثیرگذاری پارامترهای ورودی بر خروجی‌های فرآیند مورد بررسی قرار گرفت. به منظور تأیید آزمایش‌های شبیه‌سازی بین آزمایش‌های تجربی با استفاده از مجموعه شکل‌دهی دمشی انجام گرفت. با استفاده از اطلاعات به دست آمده از شبیه‌سازی عددی فرآیند، مدل رگرسیونی و شبکه عصبی مصنوعی به منظور مدل‌سازی فرآیند شکل‌دهی دمشی در دماهای بالا ایجاد شد و دقت این دو مدل مورد بررسی قرار گرفت. در این دو مدل، فشار، تقدیم محوری و زمان به عنوان پارامترهای ورودی و شعاع، کمینه و بیشینه ضخامت به عنوان خروجی‌های مساله درنظر گرفته شد. در مرحله بعد مدل دقیق‌تر به عنوان تابع ورودی به الگوریتم بهینه‌سازی ژنتیک چند هدفه ارائه گردید تا جهه پارتو و پارامترهای بهینه فرآیند به دست آید. پارامترهای بهینه‌سازی ژنتیک چند هدفه ارائه گردید تا جهه پارتو و پارامترهای بهینه فرآیند گوشش، کمینه و بیشینه ضخامت بدست آمده از پارامترهای بهینه به ترتیب برابر ۰.808mm، ۰.443mm و ۰.93mm و ۰.276mm و زمان ۶۹.۰۲s مقدار شعاع می‌باشد.

اطلاعات مقاله

مقاله پژوهشی کامل	1395
دریافت: ۰۸ خرداد ۱۳۹۵	۱۳۹۵
پذیرش: ۱۰ شهریور ۱۳۹۵	۱۳۹۵
ارائه در سایت: ۰۱ آبان ۱۳۹۵	۱۳۹۵
کلید واژگان:	
شکل‌دهی با دمش گاز در دماهای بالا	
بهینه‌سازی	
الگوریتم ژنتیک	
شبکه عصبی	
مدل رگرسیونی	

Multiobjective optimization of hot metal gas forming process to production of square parts

Mehrdad Nasrollahzade¹, Javad Shahbazi Karami², Hassan Moslemi Naeini^{1*}, Seyed Jalal Hashemi³,
Hosein Mohammadi Najafabadi¹

- ۱- Faculty of Mechanical Engineering, Tarbiat Modares University, Tehran, Iran
 - ۲- Faculty of Mechanical Engineering, Shahid Rajaei Teacher Training University, Tehran, Iran
 - ۳- Faculty of Mechanical Engineering, Kar Higher Education Institute, Qazvin, Iran
- *P.O.B. 14115-143, Tehran, Iran, moslemi@modares.ac.ir

ARTICLE INFORMATION

Original Research Paper
Received 28 May 2016
Accepted 31 August 2016
Available Online 22 October 2016

Keywords:
Hot metal gas forming, Optimization
Genetic algorithm
Neural network
Regression model

ABSTRACT

Hot gas forming process forms materials with low formability or high strength at room temperature such as aluminum, magnesium and titanium. With increasing temperature, the formability of these metals increases and the strength decreases. In this process, for producing products with desirable properties, determination of optimal parameters is essential. In this study, hot gas forming process was investigated numerically by using Abaqus software, and the effects of input parameters on the outputs were studied by analyzing simulation results. In order to validate simulation results, the experimental test was carried out by using hot gas forming setup. For modeling hot gas forming process, artificial neural network and regression models was created by using data obtained from the numerical simulation and then the accuracy of these models was examined. In these models, pressure, axial feeding and time were assumed as input parameters and the radius, minimum and maximum thickness were considered as output. In the next stage, best model was used as input function in multi-objective genetic optimization algorithm to obtain Pareto front and optimum process parameters. Optimum parameters were obtained as follows: pressure 15.82bar, axial feeding 2.76mm and time 69.02s. In addition, values of radius corner, minimum and maximum thickness achieved from using optimum parameters are 4.43mm, 0.808mm and 1.93mm respectively.

Please cite this article using:

M. Nasrollahzade, J. Shahbazi Karami, H. Moslemi Naeini, S. J. Hashemi, H. Mohammadi Najafabadi, Multiobjective optimization of hot metal gas forming process to production of square parts, *Modares Mechanical Engineering*, Vol. 16, No. 10, pp. 364-374, 2016 (in Persian)

برای ارجاع به این مقاله از عبارت ذیل استفاده نمایید:

۱- مقدمه

قرار داده و با استفاده از الگوریتم باز پخت منحنی های بارگذاری فشار و نیروی محوری را بهینه ساختند [8]. هاشمی و همکاران به کمک معیارهای شکست، نرم اصلاح شده و با در نظر گرفتن تاثیر دما و نرخ کرنش در شکست، ترکیدگی لوله و شعاع گوشه قطعه مربعی را در هیدروفرمینگ گرم تا دمای 300C پیش بینی کردند [9].

با بررسی پژوهش های انجام شده در زمینه هیدروفرمینگ گرم مشاهده می شود به علت ظرفیت گرمایی پایین سیال، تمام پژوهش های صورت گرفته در دماهای پایین تر از 300C می باشد. علاوه بر این در فرآیند هیدروفرمینگ برای شکل دهنی نیاز به فشار بالایی می باشد که سبب استفاده از ابزارها و اتصالات بزرگتر و گران تر می شود. برخی از فلزات سبک مانند آلومینیوم، تیتانیوم و منیزیم در دماهای بالاتر از دمای تبلور مجدد (یعنی بالای 300C) تنفس تسیلیم آن ها به طور چشم گیری کاهش و شکل پذیری آن ها افزایش می یابد. محققان برای از میان برداشتن این محدودیت های فرآیند هیدروفرمینگ گرم، روش شکل دهنی دمشی⁴ در دماهای بالا را مورد بررسی قرار داده اند. در فرآیند شکل دهنی دمشی از سیال دیگری که قابلیت تحمل دماهای بالاتر از 300C را داشته باشد استفاده می شود. این سیال ممکن است هوا یا گازهای خنثی از قبیل آر گون، نیتروژن و دی اکسید کربن باشد. در زیر به تعدادی از پژوهش های انجام شده در زمینه شکل دهنی دمشی در دماهای بالا اشاره شده است.

مورسی⁵ و همکاران لوله هایی از آلیاژ تیتانیوم را با استفاده از روش جدید آزمایش بالج لوله گردتایی⁶ در دمای 825C مورد بررسی قرار داده اند. آن ها خواص بدست آمده از این روش و خواص بدست آمده از آزمایش کشش تک محوره را با استفاده از شبیه سازی اجزای محدود بالج لوله مورد مقایسه قرار دادند و مشاهده کردند آزمایش بالج چندگانه نتایج دقیق تری می دهد. آن ها همچنین با استفاده از شبیه سازی اجزای محدود قطعه جعبه ای شکل در دمای 800C، تاثیر خواص ماده از قبیل رابطه تنش - نرخ کرنش، حساسیت به نرخ کرنش و ضریب استحکام ماده را که توسط آزمایش بالج بدست آورده اند، مورد بررسی قرار دادند [11,10]. ضوئی و همکاران فرآیند شکل دهنی داغ ورق آلیاژ آلومینیوم توسط گاز را مورد بررسی قرار دادند و به این نتیجه رسیدند که با افزایش دما شکل پذیری افزایش می یابد و فشار مورد نیاز شکل دهنی کاهش می یابد [12]. مائئو⁷ و همکاران با استفاده از روش مقاومتی دمای قطعه آلومینیومی را تا حدود 400C بالا برد و با استفاده از دمش هوا، لوله آلومینیومی را بالج کردند و اثر فشار داخلی و شدت جریان الکتریسیته بر روی نسبت انبساط را مورد بررسی قرار دادند. همچنین آن ها با بررسی تاثیر جنس قالب به این نتیجه رسیدند که هرچه رسانندگی حرارتی قالب کمتر باشد، پرشدگی گوشه ها بهبود می یابد [13-15]. نصرالله زاده و همکاران فرآیند شکل دهنی لوله های آلومینیومی با روش دمش گاز در دماهای بالا و تولید قطعات با سطح مقطع مربعی را مورد بررسی قرار دادند و پس از تولید قطعات مربعی توزیع ضخامت، شعاع گوشه، فشار شکل دهنی و اثر زمان اعمال فشار بر شکل گیری گوشه های نمونه های تولید شده در دماهای مختلف را باهم مقایسه کردند [16].

با بررسی پژوهش های انجام گرفته شده در زمینه شکل دهنی دمشی در دماهای بالا، مشاهده می شود اکثر پژوهش های انجام گرفته شده در این زمینه مربوط به بررسی فرآیند و پارامترهای تاثیرگذار در آن می باشد و غالبا

امروزه استفاده از موادی با نسبت استحکام به وزن بالاتر در صنعت حمل و نقل و دیگر صنایع به شکل رقابتی دنیا می شود. کاهش وزن تولیدات با توجیهات اقتصادی و محیط زیستی صورت می گیرد. آلیاژ های آلومینیوم و منیزیم به دلیل وزن کم از قابلیت بالایی در استفاده در صنایع خودروسازی و هوا فضا برخوردارند. در صورت جایگزینی فلزات آهنی با آلیاژ های آلومینیوم و منیزیم می توان وزن خودرو را به مقدار قابل توجهی کاهش داد. 10% کاهش وزن خودروها می تواند 6-8% مصرف سوخت را کاهش دهد [2,1]. آلیاژ های آلومینیوم با نسبت استحکام به وزن بالا، مقاومت در برابر خوردگی و قابلیت بازیافت بالا، از رقبای اصلی فولاد در ساخت قطعات خودرو هستند [3]. مشکل اصلی این آلیاژ ها، شکل پذیری پایین آن ها در دمای اتفاق به دلیل وجود درصد بالای عناصر آلیاژی در آلیاژ های آلومینیوم و ساختار بلوری شش وجهی فشرده⁸ (HCP) در منیزیم می باشند. به همین دلیل کاربردشان در حال حاضر محدود می باشد [4]. راه حل مناسب برای بهبود شکل پذیری این آلیاژ ها، افزایش دمای شکل دهنی می باشد [5]. در صورت که افزایش دما تا زیر دمای تبلور مجدد (معمولًا نصف دمای ذوب) باشد، به آن شکل دهنی گرم و در صورتی که دما بالای آن باشد، شکل دهنی داغ گفته می شود [5].

به وسیله فرآیند اکستروژن می توان قطعات توخالی و جدار نازک را تولید کرد اما سطح مقطع محصول ثابت است. به منظور ساخت قطعاتی با دیواره نازک و سطح مقطع های به نسبت پیچیده که شکل سطح مقطع نیز می تواند در طول قطعه تغییر کند، از فرآیند هیدروفرمینگ لوله استفاده می شود. هیدروفرمینگ یکی از پیشرفته ترین فرآیندهای شکل دهنی فلزات می باشد که شامل استفاده از فشار بالای سیال برای شکل دهنی فلز به شکل هایی می باشد که به غیر از این روش ممکن است توسط فرآیندهای دیگر تولید متعارف، غیر ممکن باشد. این فرآیند برای تولید قطعات بدون درز، سبک وزن و با کیفیت بالا برای هوا فضا و خودروسازی که ترانس خیلی بسته ای دارند ایده آل می باشد. به فرآیند هیدروفرمینگ که در آن قطعه، قالب و سیال یا هر یک از آن ها به تنهایی تا دمای طراحی گرم می شوند، هیدروفرمینگ گرم گویند. اصول حاکم بر این هیدروفرمینگ حرارتی یا هیدروفرمینگ گرم گویند. در سال های اخیر محققان تحقیقات فراوانی را در زمینه هیدروفرمینگ گرم انجام داده اند و توانسته اند موقوفیت های فراوانی در این زمینه کسب کنند، از جمله این تحقیقات عبارتند از:

هی² و همکارانش رفتار تغییر شکل لوله های منیزیمی AZ31B را در راستای محیطی و طولی مورد بررسی قرار دادند. براساس نتایج آنها شکل پذیری ماده در راستای محیطی در یک محدوده دمایی کاهش می یابد و لی در راستای طولی با افزایش دما شکل پذیری ماده به صورت پیوسته افزایش می یابد [6]. بی³ و همکارانش برای ایجاد توزیع یکنواخت دما روی سطح لوله در فرآیند هیدروفرمینگ گرم از یک سیستم گرمایش ترکیبی استفاده کردند که شامل یک گرم کننده القایی روی سطح لوله و یک کویل حرارتی در درون لوله بوده است [7]. سید کاشی و همکاران اثر ابعاد لوله، شعاع گوشه و نرخ کرنش را بر میزان فشار داخلی بهینه و جابجایی محوری مورد نیاز برای شکل دهنی لوله های آلومینیومی در دمای 300C مورد بررسی

⁴ Hot metal gas forming

⁵ Morsy

⁶ Multi-tube bulge test

⁷ Maeno

¹ Hexagonal close-packed

² He

³ Yt

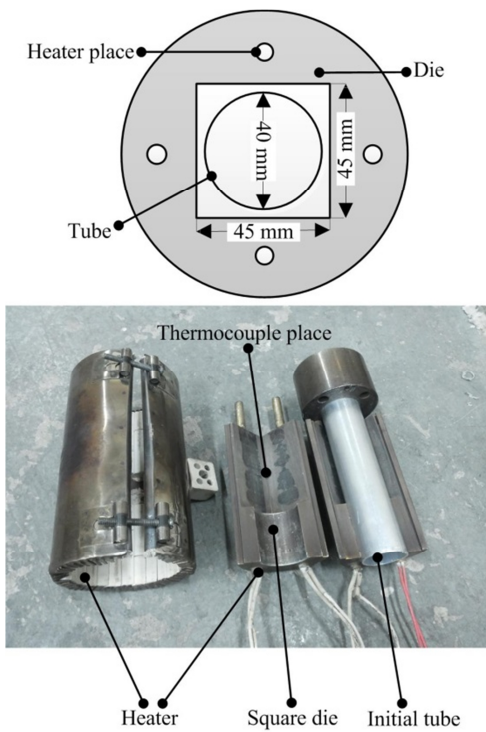


Fig. 2 Hot metal gas forming die and its dimensions

شکل 2 قالب شکل دهی داغ با دمش گاز و ابعاد آن

مرحله بعد، با استفاده از مجموعه گرمایشی، دمای قالب و لوله به 500°C می‌رسد. مجموعه گرمایشی شامل چهار عدد گرمکن فشنگی با توان 200 وات، که در داخل سوراخ‌های سرتاسری قالب قرار می‌گیرد، و یک عدد گرمکن کمرنندی به توان 1200 وات، که قالب را احاطه می‌کند، می‌باشد. به منظور اندازه‌گیری و کنترل دما نیز از یک ترموموپل نوع K و سیستم کنترل کننده دما استفاده شده است. این مجموعه به این صورت عمل می‌کند که دمای لوله توسط ترموموپل اندازه گرفته می‌شود و به سیستم کنترل کننده فرستاده می‌شود، سیستم کنترل کننده نیز با مقایسه این دما و دمای تنظیم شده، جریان برق وروودی به گرمکن‌ها را کنترل می‌کند و از این طریق دما را کنترل می‌کند. بعد از اینکه دمای لوله به دمای هدف رسید با توجه به اینکه آزمایش در دمای ثابت نگه داشته می‌شود تا به توزیع دمایی یکنواختی برسند.

برای تامین نیرو و تنفس مورد نیاز برای ایجاد تغییر شکل در لوله نیز از فشار گاز نیتروژن استفاده شده است. فشار داخلی با استفاده از یک کپسول نیتروژن اعمال و با یک رگولاتور کنترل شد.

3- شبیه سازی عددی

مدل فرآیند مطابق شکل 3 در نرم‌افزار آباکوس آماده شد و تغییر شکل لوله در دمای بالا در محیط ضمی آباکوس³ تحلیل شده است. با توجه به تقارن و همچنین کاهش زمان حل، یک‌هشتم لوله و قالب مدل شده است. لوله‌های آلومینیومی مورد استفاده در این پژوهش دارای قطر خارجی 40mm و ضخامت اولیه 1.5mm بوده‌اند. لوله‌ها بدون درز بوده و با فرآیند اکستروژن تولید شده‌اند. ترکیب شیمیایی لوله‌ها با استفاده از آزمایش کواتومتری تعیین شده که در جدول 1 نشان داده شده است. با توجه به ترکیب شیمیایی

مربط به شکل دهی دمشی ورق و یا بالج آزاد لوله در دماهای بالا می‌باشد و تاکنون مطالعه‌ای در زمینه بهینه‌سازی فرآیند شکل دهی دمشی قطعات مربعی صورت نگرفته است. معمولاً در فرآیندهای شکل دهی فلز از سعی و خطای طراحی فرآیند استفاده می‌شود که معمولاً پرهزینه و زمان بر است. استفاده از روش‌های نوبن ترکیبی نظر شبیه‌سازی عددی به همراه تکنیک‌های بهینه‌سازی و مدل‌سازی ریاضی، این امکان را فراهم می‌کند تا بدون ایجاد هزینه‌های گراف بتوان بهترین طرح ممکن را ایجاد کرد.

در این تحقیق ابتدا شبیه‌سازی فرآیند با استفاده از نرم‌افزار آباکوس¹ صورت گرفت و نتایج نتایج حاصل از شبیه‌سازی عددی توسط نرم‌افزار المان محدود آباکوس برای فرآیند شکل دهی دمشی در دماهای بالا با نتایج تجربی مورد بررسی قرار گرفت. بعد از این مرحله، دقت مدل‌های رگرسیونی و عصبی در پیش‌بینی خروجی‌های مساله مورد بررسی قرار گرفت و درنهایت با استفاده از الگوریتم ژنتیک، بهینه سازی فرآیند انجام شد.

2- مجموعه شکل دهی دمشی

به منظور تولید نمونه‌های تجربی برای اعتبارسنجی نتایج شبیه‌سازی عددی، مجموعه شکل دهی دمشی در دماهای بالا طراحی و ساخته شد. این مجموعه در شکل 1 نشان داده شده است. اجزای تشکیل‌دهنده مجموعه شکل دهی دمشی عبارتند از: قالب مربعی، مجموعه گرمایشی، سیستم کنترل کننده دما، مجموعه تامین فشار و پرس هیدرولیک.

نحوه کار مجموعه شکل دهی دمشی در دماهای بالا به این صورت می‌باشد که ابتدا لوله آلومینیومی در داخل قالب قرار می‌گیرد. این قالب از جنس فولاد ابزار سردکار 2080² می‌باشد و دارای حفره‌ای در قاعده شکل مربعی باشد که لوله در داخل این حفره تغییر شکل می‌یابد و به گوشه‌های تیز می‌باشد که لوله در داخل این حفره سرتاسری نیز می‌باشد که شکل مربع در می‌آید. قالب دارای چهار سوراخ سرتاسری نیز می‌باشد که محل قرارگیری المنتهای الکتریکی می‌باشد. قالب مربعی مورد استفاده در این پژوهش و ابعاد آن به صورت شماتیک در شکل 2 نشان داده شده است. به منظور آببندی نیز از دو عدد مخروط فولادی استفاده شده است که با استفاده از پرس هیدرولیک تحت فشار در دو طرف لوله قرار می‌گیرد. در

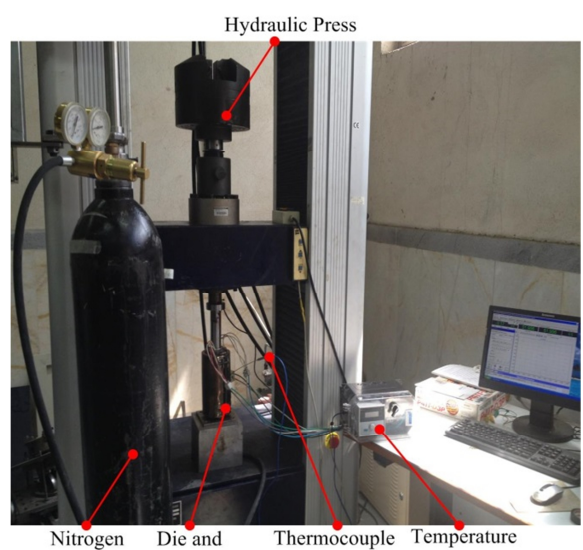


Fig. 1 Hot metal gas forming set up

شکل 1 مجموعه شکل دهی داغ با دمش گاز

³Abaqus/implicit¹Abaqus
²Spk

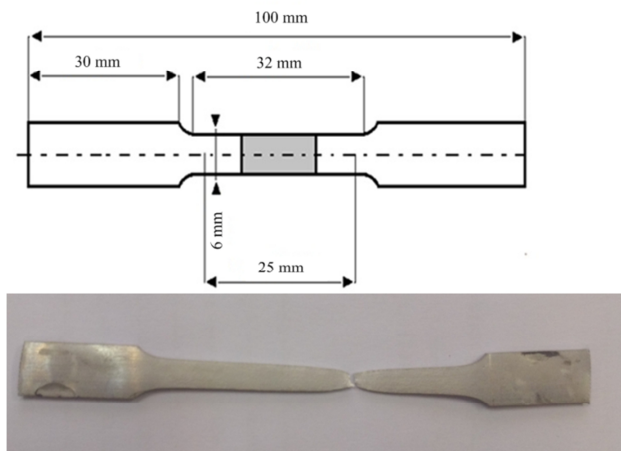


Fig. 4 Dimensions of samples and specimens after tensile test

شکل 4 ابعاد نمونه کشش و نمونه بعد از آزمایش کشش

شرایط تماسی سطح خارجی لوله و قالب بر اساس مدل تماسی سطح به سطح استاندارد با ضریب اصطکاک بر طبق مدل اصطکاکی کولمب با مقدار 0.15 تعریف شد. سطوح قالب که به صورت سطوح صلب هستند، به عنوان سطوح اصلی^۳ و سطوح لوله که تغییر شکل پذیرند، به عنوان سطوح فرعی^۴ معرفی شدند.

شبیه سازی به صورت کوپل ترمومکانیکی بوده و دمای لوله در همه نقاط پکسان فرض شده است. فشار گاز با فشار یکنواخت سطح جایگزین شده

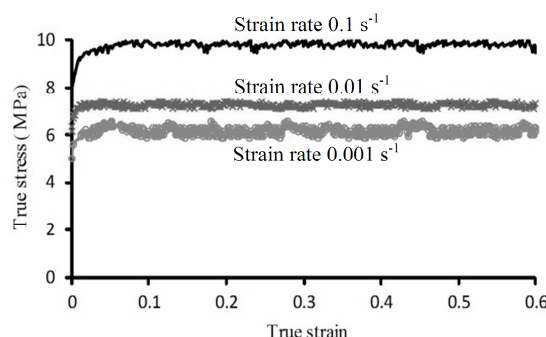


Fig. 5 Diagram of true stress-strain for AL6063 in temperature of 500C and in three strain rates of 0.1, 0.01, 0.001

شکل 5 منحنی تنش - کرنش حقیقی آلومینیوم 6063 در دمای 500C و سه نرخ 0.1, 0.01, 0.001

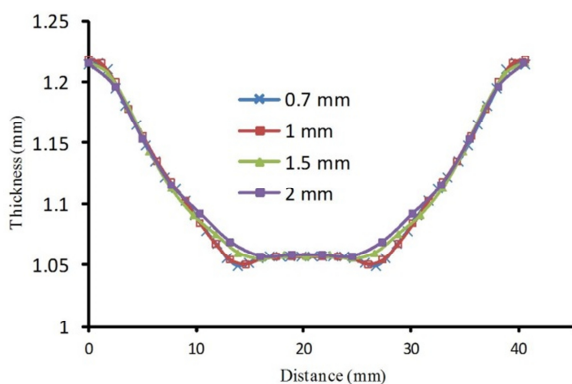


Fig. 6 Thickness distribution changes by resizing elements

شکل 6 تغییرات توزیع ضخامت با تغییر اندازه المان

جدول 1 ترکیب شیمیایی لوله

	الومینیوم پایه	منیزیم منگنز	سیلیسیوم سرب	اهن تیتانیوم	روی فلع	رس
0.47	0.44	0.30	0.08	0.06	گالیوم	
0.03	0.03	0.017	0.02	0.01	نیکل	

آلیاز لوله AA6063 می باشد.

خواص ماده به صورت داده های منحنی - کرنش حقیقی پلاستیک که از آزمایش کشش تک محوره بدست آمده وارد نرم افزار شده است. به منظور دست یابی به منحنی تنش - کرنش جنس لوله های مورد استفاده در این پژوهش، ابتدا نمونه های کشش مطابق با استاندارد ASTM-E8M که در شکل 4 نشان داده شده است، از روی لوله با استفاده از دستگاه برش سیمی^۱ آماده شدند. سپس نمونه های آماده شده بر روی دستگاه کشش یونیورسال تحت آزمایش کشش تک محوره قرار گرفت. آزمایش ها در دمای 500C و تحت سه نرخ کرنش متفاوت 0.001, 0.01, 0.1 انجام شد. در شکل 4 نمونه های کشیده شده نشان داده شده است. برای بدست آوردن خواص مکانیکی ماده، هر آزمایش سه بار تکرار شد و میانگین نتایج سه آزمون به عنوان نتیجه نهایی برای هر حالت انتخاب شده است. منحنی تنش - کرنش حقیقی که از آزمایش کشش تک محوری بدست آمده، در شکل 5 نشان داده شده است.

در این شبیه سازی نسبت ضخامت به شعاع کوچکتر از 0.1 می باشد بنابراین مدل پوسته به خوبی می تواند رفتار لوله را در این فرآیند توصیف کند. قالب نیز به صورت یک جسم صلب گسته مدل شده است. برای مشبیندی لوله، المان از نوع S4RT اختخاب شده است. این المان دارای چهار گره بوده و از روش انتگرال گیری کاهش یافته^۲ استفاده می کند. برای انتخاب بهترین اندازه المان، شبیه سازی با اندازه های مختلف المان انجام شد و تغییرات توزیع ضخامت در یک هشتمن قطعه نهایی مورد بررسی قرار گرفت. شکل 6 نتایج بدست آمده برای اندازه های مختلف المان را نشان می دهد. مشاهده می شود مقادیر توزیع ضخامت در اندازه المان 1mm 1 همگرا شده است. بنابراین از اندازه المان 1mm برای شبیه سازی ها استفاده شد.



Fig. 3 Simulation model

شکل 3 مدل شبیه سازی

³ Master
⁴ Slave

¹ Wire cut
² Reduced integration

محبوس شدن در میnimه‌های محلی در این روش‌ها وجود دارد [17]. الگوریتم ژنتیک یکی از روش‌های بهینه‌سازی تصادفی است که می‌تواند با قابلیت جستجوی همزمان نواحی مختلف فضای طراحی، نقاط بهینه را برای مسائل پیچیده‌ای نظیر مسائل غیر محدب و گستته جستجو کند. دسته‌ای از الگوریتم‌های ژنتیک که بر پایه نقاط پارتو ایجاد شده است، الگوریتم تکاملی بهینه‌سازی چند هدفه نام دارد که قادر است تا هم‌زمان چند تابع هدف را بهینه کند.

5- شبکه عصبی

شبکه‌های عصبی مصنوعی³، به طور گسترده در تحقیقات هوش مصنوعی برای حل مسائل مختلف در علوم و در جایی که یک تابع تقریبی برای نگاشت غیر خطی بین پارامترهای ورودی و خروجی نیاز است، کاربرد دارند. حوزه کاربرد این شبکه بسیار گسترده است و کاربردهایی نظیر درون‌یابی، تخمین، آشکارسازی وغیره را شامل می‌شود.

در شبکه عصبی وزن‌های اولیه، انتخاب تابع فعال‌سازی و انتخاب تعداد نرون‌های استفاده شده در لایه میانی (پنهان) به عنوان فاکتورهای یادگیری در نظر گرفته می‌شوند. شناخت و انتخاب صحیح این فاکتورها مهم بوده، زیرا آنها نه تنها بر روی همگرایی شبکه تاثیر داشته، بلکه بر روی دقت پیش‌بینی و تخمین نیز موثر می‌باشد. همان‌طور که در شکل 8 دیده می‌شود شبکه بر مبنای تطبیق و همنجی بین ورودی و هدف را نشان می‌شود تا این‌که خروجی شبکه و هدف بر هم منطبق گردد.

به طور معمول تعداد زیادی از این زوج‌های ورودی و خروجی به کار گرفته می‌شوند تا در این روند که از آن تحت عنوان یادگیری نظارت شده یاد می‌شود، شبکه آموزش داده شود.

شبکه‌های عصبی با توانایی قابل توجه خود در استنتاج نتایج از داده‌های پیچیده می‌توانند در استخراج الگوهای و شناسایی گرایش‌های مختلفی که برای انسان‌ها و کامپیوتر شناسایی آنها بسیار دشوار است، استفاده شوند.

از ویژگی‌های شبکه عصبی مصنوعی می‌توان به قابلیت یادگیری، قابلیت تعمیم و پردازش موازی آن اشاره کرد. با استفاده از شبکه عصبی مصنوعی و سازمان‌دهی داده‌های حاصل از آزمایش‌های تجربی و تحلیل اجزای محدود فرایند، می‌توان یک راه حل ساده‌تر و سریع‌تر برای حل این مسئله به دست آورد.

6- طراحی آزمایش به روش رویه‌ی پاسخ⁴

روش رویه‌ی پاسخ شامل مجموعه‌ای از روش‌های ریاضی و آماری است که به منظور تعیین یک تابع مناسب بین پاسخ⁵، y و تعدادی از متغیرهای قابل

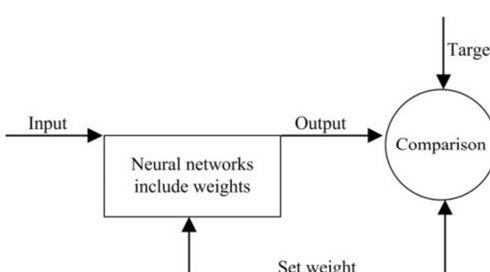


Fig. 8 Neural networks in general

شکل 8 شبکه عصبی در حالت کلی

³ Artificial Neural Networks (ANN)

⁴ Response Surface Methodology (RSM)

⁵ Response

و بر طبق منحنی زمانی مورد نیاز بر سطح داخلی لوله اعمال شده است. قطعه شبیه سازی شده در دمای 500C و فشار داخلی 12bar در شکل 7 نشان داده شده است.

4- بهینه‌سازی

غلب مسائل در طبیعت، چندین هدف احتمالاً ناسازگار برای دست‌یابی دارند. ممکن است دسترسی به یک هدف باعث دور شدن از هدف دیگر شود. واضح است که شکل‌دهی ورق نیز یک مساله چند هدفه با روابط ناسازگار بین توابع هدف می‌باشد. یک مساله بهینه‌سازی چند هدفه¹ به صورت رابطه (1) بیان می‌شود.

$$\text{Minimize } f(x) = \{f_1(x), f_2(x), \dots, f_m(x)\}; \quad x \in D \quad (1)$$

که در آن، $x = (x_1, x_2, \dots, x_m)$ بردار متغیرهای طراحی و D فضای طراحی ممکن است که توسط قیود مسأله تعیین می‌شود و $f_i(x), i=1, 2, \dots, m$ توابع هدف را نشان می‌دهد.

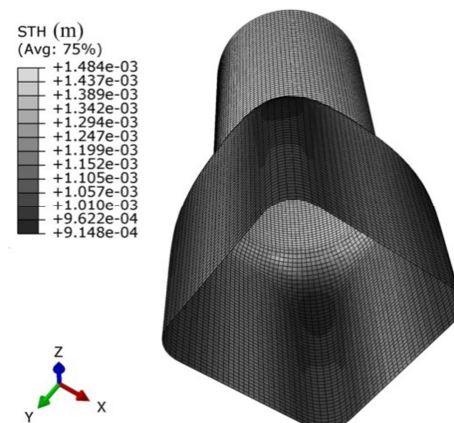
در حل مسائل بهینه‌سازی چند هدفه، معمولاً توابع هدف در تعارض با یکدیگرند. به این معنی که با بهبود یک تابع، تابع دیگر دچار افت می‌شود، لذا نمی‌توان هم‌زمان تمامی توابع هدف را در بهترین حالت خود مشاهده کرد. برای بهینه‌سازی تمام توابع هدف از مفهوم نقاط پارتو² استفاده شده است. نقاط غیر مغلوب پارتو نقاطی هستند که هیچ نقطه دیگری بر آنها غالب نیست. به عبارتی دیگر x_1 نسبت به x_2 یک نقطه غالب است اگر و تنها اگر رابطه (2) برقرار باشد.

$$f_i(x_1) \leq f_i(x_2), \quad i \in \{1, 2, \dots, n\} \quad (2)$$

$$j \in \{1, 2, \dots, n\} \quad f_j(x_1) < f_j(x_2),$$

در رابطه (2)، n تعداد توابعی است که باید کمینه شوند. حال اگر هیچ نقطه‌ای در فضای طراحی وجود نداشته باشد که بتواند طبق رابطه (2) x_1 غلبه کند آنگاه x_1 یک نقطه پارتو است. مجموعه نقاط پارتو یک پیشانی پارتو را در فضای توابع هدف ایجاد می‌کند.

به منظور بهینه‌سازی مسائل غیرخطی پیچیده مانند فرآیندهای شکل‌دهی فلزات، استفاده از روش‌های تصادفی که الگوریتم جست و جوی آنها بر مبنای احتمال و آمار است، کارایی بیشتری نسبت به روش‌های مرسوم کلاسیک که بر پایه گرادیان توابع بنا نهاده شده‌اند دارند. زیرا روش‌های کلاسیک تنها برای توابع پیوسته و منظم کاربرد دارند و علاوه بر آن امکان



شکل 7 قطعه شبیه سازی شده در دمای 500C و فشار داخلی 12bar

شکل 7 قطعه شبیه سازی شده در دمای 500C و فشار داخلی 12bar

¹ Multiobjective optimization

² Pareto front

جدول 2 نتایج حاصل از شبیه‌سازی

Table 2 Simulation results

آزمایش	فشار (bar)	زمان (s)	تغذیه (mm)	ضخامت (mm)	بیشینه ضخامت (mm)	کمینه ضخامت (mm)	شعاع (mm)
1	15.84	3	30	1.90	0.85	4.85	4.85
2	15.84	0	90	1.48	0.77	4.23	4.23
3	13.2	0	90	1.48	0.85	5.32	5.32
4	13.2	1.5	30	1.67	0.92	5.9	5.9
5	14.52	0	30	1.48	0.85	5.35	5.35
6	14.52	3	60	1.89	0.86	5.04	5.04
7	15.84	3	90	1.96	0.8	4.32	4.32
8	14.52	1.5	60	1.74	0.84	4.96	4.96
9	13.2	0	30	1.48	0.9	5.86	5.86
10	14.52	3	30	1.87	0.89	5.53	5.53
11	15.84	1.5	60	1.77	0.8	4.45	4.45
12	13.2	3	30	1.82	0.94	5.94	5.94
13	15.84	1.5	30	1.72	0.83	4.8	4.8
14	13.2	3	60	1.85	0.91	5.69	5.69
15	15.84	0	30	1.43	0.82	4.73	4.73
16	14.52	0	60	1.48	0.82	4.90	4.90
17	15.84	1.5	90	1.79	0.79	4.27	4.27
18	14.52	1.5	90	1.76	0.82	4.74	4.74
19	13.2	1.5	60	1.71	0.89	5.65	5.65
20	13.2	1.5	90	1.73	0.87	5.4	5.4
21	13.2	3	90	1.89	0.89	5.48	5.48
22	14.52	3	90	1.92	0.84	4.80	4.80
23	14.52	1.5	30	1.70	0.87	5.44	5.44
24	15.84	0	60	1.48	0.78	4.41	4.41
25	14.52	0	90	1.48	0.81	4.68	4.68
26	15.84	3	60	1.93	0.81	4.50	4.50
27	13.2	0	60	1.43	0.87	5.6	5.6

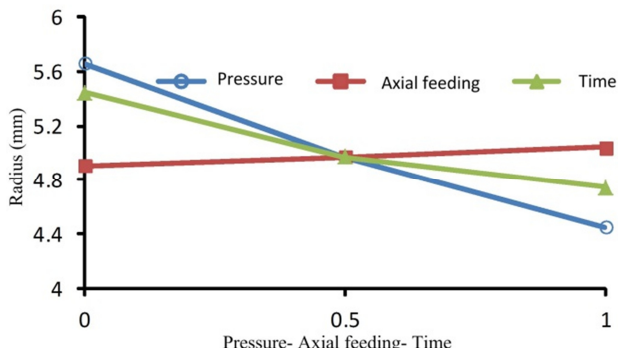


Fig. 9 Effect of input parameters on the corner radius

شکل 9 تاثیر پارامترهای ورودی بر شعاع گوشه

12 معادلات و سطوح پاسخ مربوط به هریک از خروجی‌های فرآیند بر حسب متغیرهای ورودی نشان داده شده است. در هریک از شکل‌ها، یکی از متغیرهای ورودی در مقایسه میانگین خود ثابت باقی ماند و دو متغیر دیگر در محدوده مجاز تعیین شده تغییر می‌یابند.

بررسی شکل‌های 9 تا 12 نشان می‌دهد در پارامترهای خروجی شعاع گوشه و کمینه ضخامت، دو پارامتر ورودی فشار و زمان اعمال فشار به صورت همسو عمل می‌کنند و تغذیه محوری عکس این دو پارامتر تاثیر می‌گذارد. با افزایش فشار داخلی و زمان اعمال فشار تا بیشینه مقادیر خود، شعاع گوشه

کنترل¹ یا ورودی که با x_k, \dots, x_1, x_0 نمایش داده می‌شود، به کار می‌رود. به طور کلی، تعیین دقیق این رابطه غیر ممکن است اما می‌توان آن را به کمک یک تابع چند جمله‌ای با درجه‌ی پایین، به صورت زیر، تقریب زد:

$$y = f'(x)\beta + \epsilon$$

در این معادله، x به صورت $(x_k, x_{k-1}, \dots, x_1, x_0) = (x_1, x_2, \dots, x_k)$ تعریف می‌شود و $f(x)$ یک تابع برداری با p درایه است. این تابع از توان‌های x_1, x_2, \dots, x_k و x_0 همچنین ضرب خارجی توان‌های x_k, \dots, x_1, x_0 تا یک درجه‌ی مشخص، که با $(\geq) w$ نشان داده می‌شود، تشکیل شده است. β برداری متشکل از p ضریب ثابت مجھول است و ϵ نیز خطای تصادفی تجربی با فرض میانگین صفر می‌باشد. در این تحقیق، برای پیش‌بینی مقادیر پاسخ از مدل چند جمله‌ای درجه دو مطابق رابطه 3 در نرم افزار دیزاین اکسپرت² استفاده شده است.

$$Y = \beta_0 + \sum_{i=1}^3 \beta_i x_i + \sum_{i=1}^3 \beta_{ii} x_i^2 + \sum \sum_{i < j} \beta_{ij} x_i x_j \quad (3)$$

در رابطه بالا $\beta_0, \beta_i, \beta_{ii}$ و β_{ij} ضرایب برآورد چند جمله‌ای می‌باشد. x_i و x_j متغیرهای مستقل طراحی و Y تابع هدف است.

7- نتایج

فسار داخلی، تغذیه محوری و زمان اعمال فشار از پارامترهای تاثیرگذار بر فرآیند شکل‌دهی دمشی در دمای‌های بالا می‌باشد که بر خروجی‌های فرآیند تاثیرگذار می‌باشد. برای یافتن شرایط بهینه فرآیند، سه عامل فشار داخلی، تغذیه محوری و زمان اعمال فشار به عنوان متغیرهای ورودی مسئله در نظر گرفته شد. در این پژوهش هدف، تولید نمونه‌هایی با شعاع گوشه کمتر و توزیع ضخامت یکنواخت‌تر می‌باشد بنابراین شعاع گوشه، کمینه ضخامت و بیشینه ضخامت به عنوان خروجی‌های شبیه‌سازی فرآیند مورد بررسی قرار گرفت تا مشخص شود به ازای چه مقادیری از ورودی‌ها، نمونه با شعاع گوشه کوچک‌تر و توزیع ضخامت یکنواخت‌تر حاصل می‌شود.

7-1- شبیه‌سازی عددی

به منظور به دست آوردن ارتباط بین پارامترهای ورودی و خروجی، آزمایش‌های شبیه‌سازی در سه سطح 15.84 bar, 14.52 bar و 13.2 bar برای فشار داخلی، 1.5.0 mm و 3 برای اندازه تغذیه محوری و 90 و 60 و 30 s برای زمان اعمال فشار انجام گرفت. پس از انجام 27 (3³) مرتبه اجرای شبیه‌سازی در سطوح بالا، مقادیر شعاع گوشه، کمینه ضخامت و بیشینه ضخامت لوله به عنوان خروجی‌های شبیه‌سازی استخراج شد. این نتایج در جدول 2 آورده شده است.

در شکل‌های 9 تا 11 تاثیرگذاری هرکدام از پارامترهای فشار داخلی، تغذیه محوری و زمان اعمال فشار، بر شعاع گوشه، کمینه ضخامت و بیشینه ضخامت نشان داده شده است. از آنجاکه پارامترهای ورودی از یک نوع نمی‌باشد، به منظور مقایسه تاثیرگذاری هرکدام از پارامترهای ورودی بر خروجی‌های مساله بر روی یک شکل، سه سطح ابتدایی، متوسط و انتهایی از پارامترهای ورودی به صورت اعداد 0.5, 1 و 1 نشان داده شده است. برای بررسی تاثیر هرکدام از پارامترهای ورودی، دو متغیر دیگر در حالت میانی خود ثابت باقی مانده است و متغیر مورد نظر در سه سطح تغییر کرده تا تاثیر آن بر پارامترهای خروجی مشخص شود.

به منظور بررسی تاثیر متقابل پارامترهای ورودی، از مدلی که با استفاده از روش پاسخ سطح بین ورودی‌ها و خروجی‌ها برقرار شده، استفاده گردید. در شکل

¹ Control Variables

² Design Expert

نتایج تجربی می‌باشد. به منظور معترض‌سازی نتایج شبیه‌سازی، آزمایش‌های عملی با استفاده از مجموعه شکل‌دهی دمشی در دمای 500C و فشار 12bar انجام شد. قطعه تولید شده در این شرایط در شکل 13 نشان داده است. کمینه و بیشینه ضخامت و شعاع گوشه قطعات شکل گرفته شده با نتایج حاصل از شبیه‌سازی عددی در شرایطی یکسان مقایسه شده است. این نتایج در جدول 3 نشان داده شده است.

در جدول 3 مشاهده می‌شود شبیه‌سازی عددی با دقت بسیار خوبی شعاع گوشه قطعات سطح مقطع مربعی را در فرآیند شکل‌دهی دمشی در دماهای بالا پیش‌بینی کرده است، به طوری که درصد خطا برابر 5.44% شده است. همچنین خطای شبیه‌سازی انجام شده در پیش‌بینی کمینه و بیشینه ضخامت به ترتیب برابر 5% و 4.1% می‌باشد. نتایج حاصل از مقایسه بین شبیه‌سازی عددی و آزمایش‌ها نشان می‌دهد که نتایج شبیه‌سازی عددی تطبیق خوبی با نتایج عملی دارد و نرمافزار اجزای محدود با دقت خوب و خطای کمی، نتایج را پیش‌بینی کرده است.

3-7 شبکه عصبی

یکی از مرسوم ترین انواع شبکه‌های عصبی، شبکه عصبی پرسپترون چندلایه (MLP) است که به طور موفقیت‌آمیزی در بازه وسیعی از کاربردها از جمله طبقه‌بندی داده‌ها و شناسایی الگو، مورد استفاده قرار گرفته است. به علت پیچیدگی و تنوع داده‌ها، توجه به انتخاب روش آموزش شبکه عصبی با توجه به زمان بر بودن آن، اهمیت فراوانی دارد. یکی از فاکتورهای اساسی و عملی در آموزش، نرخ همگرایی شبکه است که رابطه مستقیمی با مدت زمان آموزش خواهد داشت که برای روش‌های گردایانی که آموزه برای آموزش شبکه عصبی استفاده می‌شود، کاملاً وابسته به نقطه شروع خواهد بود. از طرفی شبکه عصبی پرسپترون چندلایه، تپولوژی خوبی برای تابع تقریب دارد و مسائلی که بصورت غیرخطی هستند را با پیچیدگی زمانی کم حل می‌کند، چرا که بصورت موازی کار را پیش می‌برد و همچنین دارای تعمیم‌دهنده‌ی خوبی است. از آنجا که شبکه‌های عصبی لایه‌ای می‌توانند هر نوع مسئله غیرخطی را حل کنند، در این پژوهش از شبکه عصبی سه لایه استفاده شده است.

برای ساخت و آموزش شبکه از نرمافزار متلب استفاده شده است. به منظور ارتباط بین ورودی‌ها و خروجی‌های حاصل از آزمایش‌های شبیه‌سازی و ایجاد یک تابع تخمین مناسب، شبکه عصبی مناسب با مشخصات زیر آموزش داده شد:

تعداد نورون‌های لایه‌های ورودی و خروجی به ترتیب برابر تعداد متغیرهای طراحی و توابع خروجی یعنی عدد سه است. این شبکه، یک شبکه پیش‌خور از نوع پس‌انتشار بوده که به روش لونبرگ-مارکورات¹ آموزش داده شده است. توابع محرك لایه‌های پنهان و خروجی به ترتیب به صورت توابع تانژانت سیگموئد² و خطی تعریف شده است.

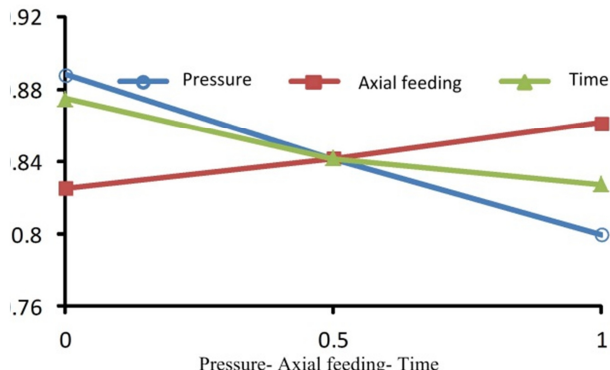
جدول 3 مقایسه نتایج شبیه‌سازی و آزمایش‌های تجربی

Table 3 Comparison between simulation results with experimental data

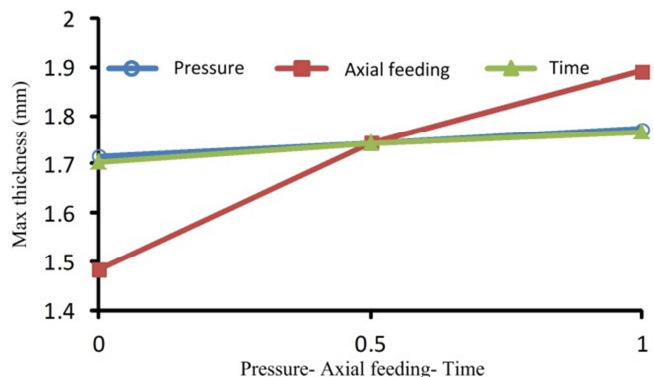
بیشینه ضخامت	کمینه ضخامت	شعاع	تجربی
1.19mm	1mm	5.7mm	
1.25mm	1.048mm	6.01mm	شبیه‌سازی
5.04%	4.8%	5.44%	خطا

¹ Levenberg-Marquardt

² Tangent Sigmoid



شکل 10 تاثیر پارامترهای ورودی بر کمینه ضخامت



شکل 11 تاثیر پارامترهای ورودی بر بیشینه ضخامت

21.3% کاهش می‌یابد و در اثر افزایش تغییر شکل، کمینه ضخامت نیز 9.9% و 5.4% کاهش پیدا می‌کند. با افزایش تغذیه محوری این نازک‌شدنگی کاهش می‌یابد و کمینه ضخامت 4.4% افزایش می‌یابد. از طرفی با افزایش تغذیه محوری، ماده بیشتری به گوشه‌های قطعه تغذیه می‌شود، از آنجاکه فشار و زمان ثابت می‌باشد تنفس و نیروی شکل‌دهی افزایش پیدا نمی‌کند تا بتواند گوشه‌های قطعه را بیشتر شکل دهد در نتیجه شعاع گوشه‌ها افزایش پیدا می‌کند. تغییرات بیشینه ضخامت نیز نشان می‌دهد این پارامتر خروجی بیشتر تابعی از تغذیه محوری می‌باشد و با افزایش تغذیه، 27.5% افزایش می‌یابد و فشار و زمان تاثیر چندانی بر این پارامتر ندارد. بررسی شبیه‌سازها نشان می‌دهد مهمترین عامل تاثیرگذار در تغییرات شعاع گوشه و کمینه ضخامت، فشار داخلی و در بیشینه ضخامت، تغذیه محوری می‌باشد. ضرایب عبارت‌های AB و BC در چند جمله‌ای مربوط به خروجی بیشینه ضخامت نشان می‌دهد اثر متقابل تغذیه محوری- زمان و تغذیه محوری- فشار پارامتری تاثیرگذار در خروجی می‌باشد اما در سایر چند جمله‌ای‌ها اثرات متقابل زیاد به چشم نمی‌آیند.

مشاهده می‌شود سه پارامتر ورودی تاثیرهای متفاوتی بر خروجی‌های مساله دارند و سه خروجی هم‌زمان نمی‌توانند بهترین حالت خود را داشته باشند. برای دست‌یابی به قطعه‌ای مطلوب، نیاز به انتخاب حالت بهینه‌ای از پارامترهای ورودی می‌باشد تا در نهایت قطعه‌ای با شعاع گوشه کوچکتر و توزیع ضخامت یکنواخت‌تر حاصل شود. انتخاب حالت بهینه توسط الگوریتم رُنیک صورت گرفته که نتایج حاصله در ادامه آورده شده است.

7-2-بررسی صحت نتایج شبیه‌سازی

استفاده از نتایج حاصل از شبیه‌سازی عددی منوط به صحت‌سنجی آن با

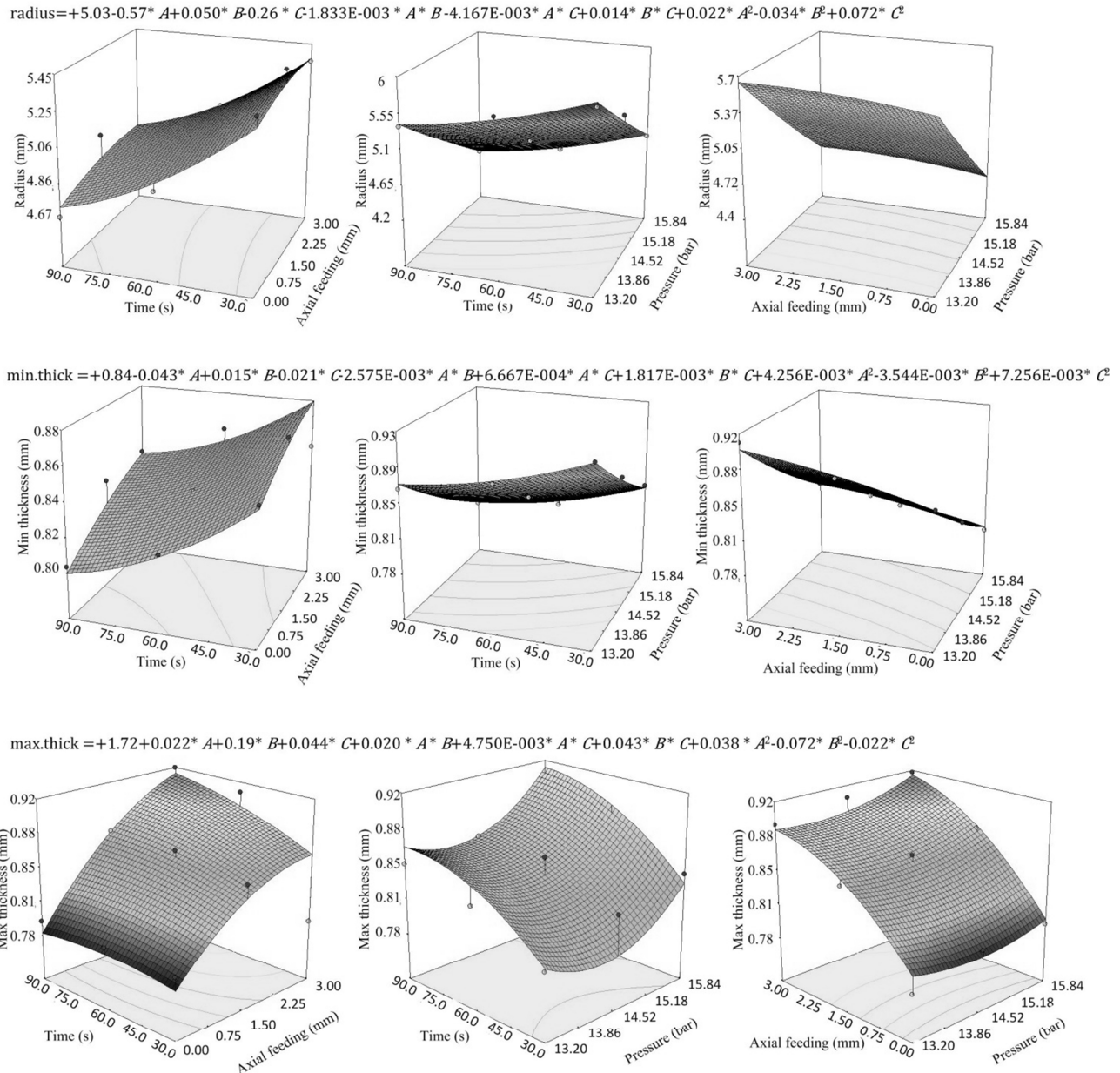


Fig. 12 The interaction of input parameters (in equations, pre: internal pressure, dis: axial feeding and time: pressure time)

(شکل 12 اثر متقابل پارامترهای ورودی (در معادلات pre فشار داخلی، dis: تغذیه محوری و time: زمان اعمال فشار می‌باشد.)

برای ارزیابی دقت آموزش شبکه عصبی، برای هریک از پارامترهای شعاع گوشش، کمینه و بیشینه ضخامت، رگرسیون خطی بین نقاط شبیه‌سازی شده و خروجی شبکه عصبی انجام شده است. یک ملاک مناسب برای تعیین همبستگی دو متغیر کمی ضریب همبستگی پیرسون است که با R_{xy} نشان داده می‌شود و مطابق رابطه (4) بدست می‌آید. ضریب همبستگی شاخصی است که میزان رابطه بین متغیرها را نشان می‌دهد، این ضریب همواره بین 1 و -1 می‌باشد. در صورتیکه ضریب همبستگی برابر 1 باشد، همبستگی کامل و مستقیم می‌باشد و اگر -1 باشد، همبستگی کامل و غیر مستقیم می‌باشد. اگر این ضریب برابر صفر شود دو متغیر همبستگی ندارند.

$$R_{xy} = \frac{\bar{x}\bar{y} - \bar{x}\bar{y}}{\sqrt{s_x^2 \cdot s_y^2}} \quad (4)$$

Fig. 13 Specimen produced in 500C and 12bar

(شکل 13 نمونه تولید شده در دمای 500C و فشار 12bar)

هریک از اجزای فرمول ضریب همبستگی به صورت زیر است:

دیزاین اکسپرت¹ محاسبه شدند. با جایگذاری مقادیر در معادله (3)، مدل نهایی شاعع گوش، کمینه ضخامت و بیشینه ضخامت به صورت معادله های 5.6 و 7 خواهد بود:

$$\begin{aligned} radius &= 14.65206 - 0.79634pre + 0.072667dis \\ &\quad - 0.017307time \\ &\quad - 0.000925926 pre \times dis \\ &\quad - 0.000105219 pre \times time \\ &\quad + 0.000318519 dis \times time \\ &\quad + 0.012818 pre^2 - 0.015037dis^2 \\ &\quad + 0.0000798148 time^2 \end{aligned} \quad (5)$$

$$\begin{aligned} min.thick &= 1.87705 - 0.10278pre + 0.031335dis \\ &\quad - 0.00197426time - 0.00130051pre \\ &\quad \times dis + 0.000016835 pre \times time \\ &\quad + 0.0000403704dis \times time \\ &\quad + 0.00244235pre^2 - 0.00157531dis^2 \\ &\quad + 0.00000806173time^2 \end{aligned} \quad (6)$$

$$\begin{aligned} max.thick &= 6.09354 - 0.64499pre + 0.018889dis \\ &\quad + 0.00118519time + 0.010017pre \times dis \\ &\quad + 0.000119949pre \times time \\ &\quad + 0.000964815dis \times time \\ &\quad + 0.022032pre^2 - 0.031901dis^2 \\ &\quad - 0.0000241975time^2 \end{aligned} \quad (7)$$

همان گونه که در بخش شبکه عصبی برای ارزیابی دقت شبکه، رگرسیون خطی بین نقاط شبیه سازی شده و خروجی شبکه عصبی انجام شد، در این بخش نیز برای بررسی دقت مدل رگرسیونی در پیش بینی خروجی های مساله، برای هر یک از پارامتر های شاعع گوش، کمینه و بیشینه ضخامت، رگرسیون خطی بین نقاط شبیه سازی شده و نتایج حاصل از معادله های 5.6 و 7 انجام شد و ضرایب همبستگی برای هر کدام از خروجی ها بدست آمد. در شکل 15 رگرسیون خطی بین نتایج شبیه سازی و مدل رگرسیونی و ضرایب همبستگی حاصل از هر کدام از خروجی ها نشان داده شده است.

در شکل 15 مشاهده می شود ضریب همبستگی برای تمام خروجی ها بالای 0.98 می باشد، این ضریب همبستگی بالا حاکی از دقت بالای مدل رگرسیونی در پیش بینی خروجی های مساله می باشد. مقایسه ضرایب همبستگی در شبکه عصبی و مدل رگرسیونی نشان می دهد، ضرایب همبستگی در تمام خروجی ها برای مدل رگرسیونی بیشتر از مدل عصبی می باشد. میانگین ضرایب همبستگی در مدل رگرسیونی 0.986 و در شبکه عصبی برابر 0.936 می باشد. بیشتر بودن ضریب همبستگی در مدل رگرسیونی نشان می دهد در این مساله مدل رگرسیونی نسبت به مدل عصبی، مدلی مناسب تر و دقیق تر برای پیش بینی خروجی های مساله می باشد. دلیل دقت بالاتر مدل رگرسیونی نسبت به مدل عصبی نیز تعداد کم داده های مساله می باشد، مدل عصبی به منظور آموزش، آزمایش و اعتبارسنجی نیاز به داده های بیشتری دارد تا کارایی مناسب تر از خود نشان دهد.

5-7 الگوریتم ژنتیک

پس از مقایسه دقت مدل رگرسیونی و مدل عصبی در پیش بینی خروجی های فرآیند، این نتیجه حاصل شد که در این مساله مدل رگرسیونی دارای دقت بیشتری می باشد. در ادامه به منظور یافتن شرایط بهینه برای پارامتر های فشار داخلی، تغذیه محوری و زمان اعمال فشار برای حداکثر کردن مقدار

نتایج حاصل از مقایسه بین مقادیر شبیه سازی عددی و شبکه عصبی و همچنین ضرایب همبستگی بدست آمده برای هر کدام از خروجی ها در شکل 14 نشان داده شده است. نتایج رگرسیون بیان می کند که ضریب همبستگی برای تمامی نمودارها بالاتر از $R = 0.92$ است که نشان می دهد شبکه به خوبی آموزش دیده است.

4-7 مدل رگرسیون

به منظور مقایسه دقت شبکه عصبی با مدل رگرسیونی در پیش بینی خروجی های مساله، از مدل چند جمله ای درجه دوم به صورت رابطه (3) استفاده شده است. با استفاده از نتایج بدست آمده از شبیه سازی عددی، مقادیر ضرایب این معادله به کمک روش رگرسیونی و با استفاده از نرم افزار

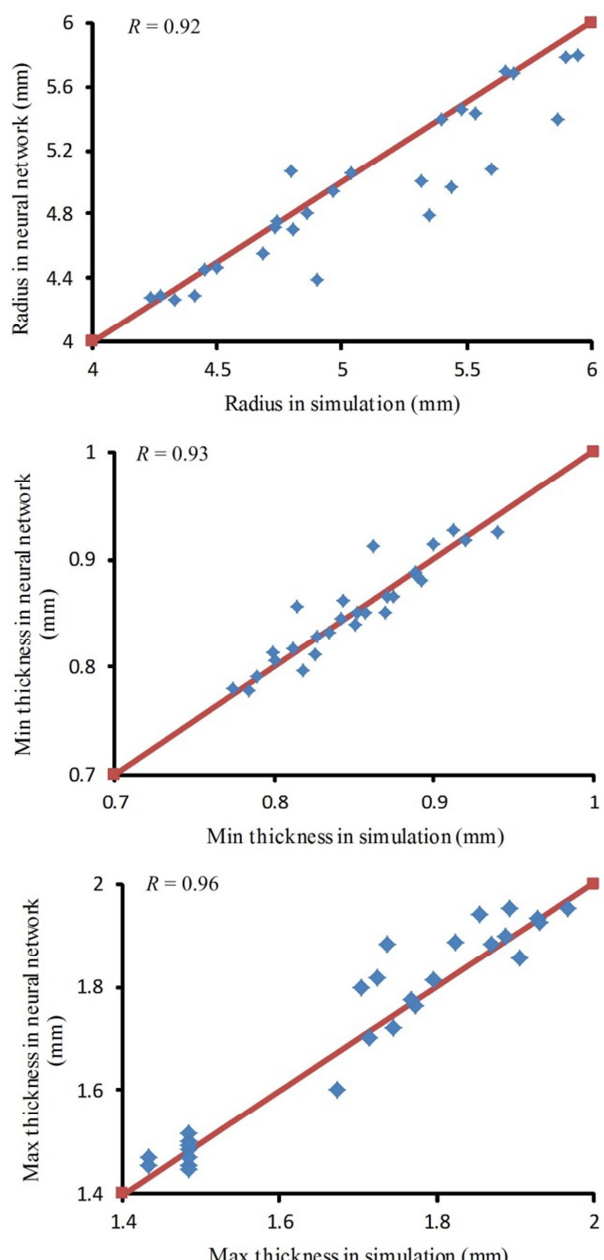


Fig. 14 Comparison between radius, minimum and maximum thickness on the simulation and prediction of neural network

شکل 14 مقایسه شاعع گوش، کمینه و بیشینه ضخامت حاصل از شبیه سازی عددی و پیش بینی شبکه عصبی

¹ Design Expert

در شکل 16 نشان داده شده است. تمامی نقاط پارتو به نوعی نقاط بهینه هستند؛ بدین معنی که هیچ یک از آن‌ها بر دیگری برتری کامل ندارد ولی نسبت به نقاط دیگر برترند. اما در نهایت یکی از این نقاط باید برای ساخت و اجرا انتخاب شود.

همان‌طور که متداول است برای معرفی یک نقطه بینایی‌نی که از نظر همه اهداف مناسب باشد، در فضای توابع هدف نقطه یوتوبیا (نقطه‌ای که از مقادیر حداقل هر سه تابع تشکیل می‌شود) تعیین شده و نزدیکترین نقطه از جبهه پارتو به یوتوبیا، به عنوان این نقطه بینایی معرفی و مقادیر متغیرهای طراحی متناظر با آن ارائه می‌شود.

با توجه به این‌که پارامترهای دخیل در بهینه‌سازی، هر کدام دارای واحدهای متفاوتی بوده و از یک جنس نمی‌باشد، لذا مقایسه آنها با یکدیگر صحیح نیست. بنابراین به منظور ایجاد امکان مقایسه، ابتدا باید پارامترها را نرماله نمود تا مقایسه آنها درست و معنی‌دار گردد. بر همین اساس برای نرماله کردن داده‌ها یکی از روابط (8) و (9) به ترتیب زیر استفاده می‌شود.

[18]

$$X^*_i(k) = \frac{X^0_i(k) - \min X^0_i(k)}{\max X^0_i(k) - \min X^0_i(k)} \quad (8)$$

$$X^*_i(k) = \frac{\max X^0_i(k) - X^0_i(k)}{\max X^0_i(k) - \min X^0_i(k)} \quad (9)$$

استفاده می‌شود. در این روابط پارامترهای (k) مقدار پارامتر نرماله شده در i این پاسخ و X^0_i مقدار داده به صورت خام می‌باشد.

با توجه به مقادیر جبهه پارتو کمترین مقدار برای شعاع گوشه 4.26mm و مربوط به نقطه‌ای با مختصات (16bar, 0.04mm, 69.9s)، بیشترین مقدار (13bar, 2.84mm, 30s) و کمترین مقدار بیشینه ضخامت برابر 1.45mm در نقطه‌ای با مختصات (14.56bar, 0.016mm, 34.21s) می‌باشد که تشکیل نقطه یوتوبیا با مختصات (4.26mm, 0.94mm, 1.45mm) می‌دهند. پس از نرماله کردن پارامترها با استفاده از فرمول‌های (8) و (9)، کمترین فاصله نقاط جبهه پارتو از نقطه یوتوبیا محاسبه شد.

کمترین فاصله مربوط به نقطه‌ای با مختصات (4.43mm, 0.808mm, 1.93mm) می‌باشد که فشار داخلی 15.82bar و زمان اعمال فشار 69.02s است. این نقطه به تغذیه محوری 2.76mm و زمان اعمال 69.02s است. این نقطه به عنوان نقطه بهینه نهایی انتخاب شد. به منظور ارزیابی نقطه بهینه به دست آمده، شبیه‌سازی فرآیند در این نقطه انجام گرفت. در جدول 4 نتایج حاصل

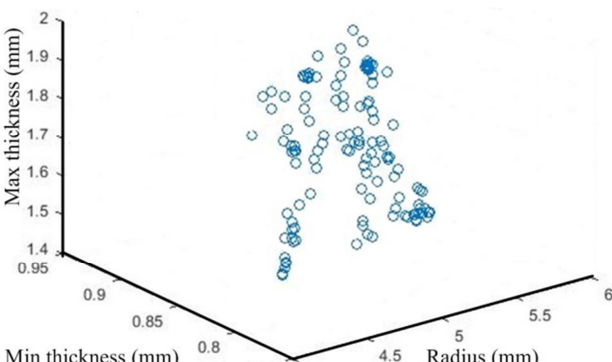


Fig. 16 Pareto front and optimal points

شکل 16 جبهه پارتو و نقاط بهینه

کمینه ضخامت و حداقل کردن شعاع گوشه و بیشینه ضخامت، مدل رگرسیونی به دست آمده به عنوان تابع هزینه در الگوریتم زنتیک استفاده می‌شود.

الگوریتم زنتیک دارای پارامترهای اولیه‌ای می‌باشد که بر خروجی الگوریتم تأثیرگذار می‌باشد، این پارامترها بعد از صحیح و خطا و در حالتی که خروجی در بهترین حالت خود می‌باشد، انتخاب شده است. الگوریتم زنتیک مورد استفاده دارد از جمعیت اولیه 200 کروموزوم، تعداد نسل 2000 و نرخ تقاضه 0.8 می‌باشد. الگوریتم زنتیک چند هدفه با ابزارهای متداول جهش و آمیزش صورت گرفته و اعضای هر نسل به صورت غیر مغلوب مرتب‌سازی شده‌اند تا به تدریج جبهه پارتو نهایی شکل بگیرد. جبهه نهایی حاصل شده

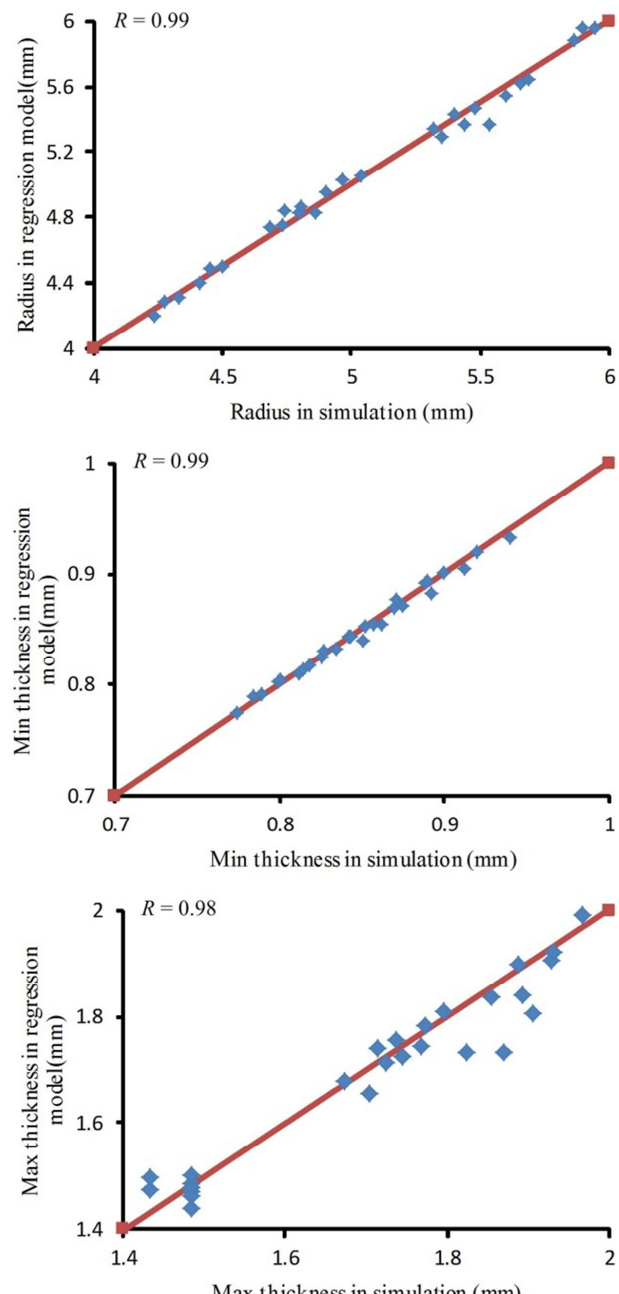


Fig. 15 Comparison between radius, minimum and maximum thickness on the simulation and prediction of regression model

شکل 15 مقایسه شعاع گوشه، کمینه و بیشینه ضخامت حاصل از شبیه‌سازی عددی و پیش‌بینی مدل رگرسیونی

4. کمترین مقدار برای شعاع گوشه، 4.26mm و مربوط به نقطه‌ای با مختصات (16bar, 0.04mm, 69.9s)، بیشترین مقدار کمینه ضخامت، 0.94mm با مختصات (13bar, 2.84mm, 30s) و کمترین مقدار بیشینه ضخامت برابر 1.45mm در نقطه‌ای با مختصات (14.56bar, 0.016mm, 34.21s) می‌باشد که تشکیل نقطه یوتوبیا با مختصات (4.26mm, 0.94mm, 1.45mm) را می‌دهند.

5. نتایج حاصل از بهینه‌سازی با استفاده از الگوریتم ژنتیک نشان می‌دهد نقطه‌ای با مقدار فشار داخلی 15.82bar، تغذیه محوری 2.76mm و زمان اعمال فشار 69.02s نقطه بهینه را تشکیل می‌دهد و شعاع گوشه، کمینه ضخامت و بیشینه ضخامت را از این مقادیر بهینه به ترتیب برابر 4.43mm، 0.808mm و 1.93mm می‌باشد.

6. نتایج حاصل از بهینه‌سازی چند هدفه با استفاده از مدل رگرسیونی و الگوریتم ژنتیک نشان می‌دهد این روش در شکل‌دهی دمشی در دماهای بالا بسیار موثر و کاربردی است.

9- مراجع

- [1] H. Choi, M. Koc, J. Ni, A study on the analytical modeling for warm hydro-mechanical deep drawing of lightweight materials, *International Journal of Machine Tools and Manufacture*, Vol. 47, No. 11, pp. 1752-1766, 2007.
- [2] H. Choi, M. Koc, J. Ni, Determination of optimal loading profiles in warm hydroforming of lightweight materials, *Journal of Materials Processing Technology*, Vol. 190, No. 1, pp. 230-242, 2007.
- [3] M.-Y. Lee, S.-M. Sohn, C.-Y. Kang, D.-W. Suh, S.-Y. Lee, Effects of pre-treatment conditions on warm hydroformability of 7075 aluminum tubes, *Journal of Materials Processing Technology*, Vol. 155, No. 2, pp. 1337-1343, 2004.
- [4] S. Novotny, M. Geiger, Process design for hydroforming of lightweight metal sheets at elevated temperatures, *Journal of Materials Processing Technology*, Vol. 138, No. 1, pp. 594-599, 2003.
- [5] Y. Aue-u-lan, *Hydroforming of tubular materials at various temperatures*, pp. 25, The Ohio State University, Doctoral dissertation, 2007.
- [6] Z.-b. He, X.-b. Fan, S. Fei, K.-l. Zheng, Z.-b. Wang, S.-j. Yuan, Formability and microstructure of AA6061 Al alloy tube for hot metal gas forming at elevated temperature, *Transactions of Nonferrous Metals Society of China*, Vol. 22, No. 2, pp. 364-369, 2012.
- [7] H. Yi, E. Pavlina, C. Van Tyne, Y. Moon, Application of a combined heating system for the warm hydroforming of lightweight alloy tubes, *Journal of Materials Processing Technology*, Vol. 203, No. 1, pp. 532-536, 2008.
- [8] S. M. H. Seyedkashi, H. Moslemi Naeini, G. H. Liaghat, M. Mosavi Mashadi, Y. H. Moon, Numerical and experimental study on the effects of expansion ratio, corner fillets and strain rate in warm hydroforming of aluminum tubes, *Modares Mechanical Engineering*, Vol. 12, No. 5, pp. 122-131, 2012. (in Persian) (فارسی)
- [9] S. J. Hashemi, H. Moslemi Naeini, G. H. Liaghat, J. Shahbazi Karami, A. H. Roohi, Prediction of bursting in warm tube hydroforming using modified ductile fracture criteria, *Modares Mechanical Engineering*, Vol. 14, No. 16, pp. 211-201, 2015. (in Persian) (فارسی)
- [10] A.-W. El-Morsy, K.-i. Manabe, FE simulation of rectangular box forming using material characteristics from the multi-dome forming test, *Journal of Materials Processing Technology*, Vol. 125, No. 9, pp. 772-777, 2002.
- [11] A. El-Morsy, N. Akkus, K. Manabe, H. Nishimura, Evaluation of superplastic characteristics of tubular materials by multi-tube bulge test, *Materials Letters*, Vol. 60, No. 4, pp. 559-564, 2006.
- [12] M. S. Zoei, M. Farzin, A. H. Mohammadi, Finite element analysis and experimental investigation on gas forming of hot aluminum alloy sheet, *Modares Mechanical Engineering*, Vol. 11, No. 2, pp. 49-56, 2011. (in Persian) (فارسی)
- [13] T. Maeno, K.-i. Mori, C. Unou, Improvement of die filling by prevention of temperature drop in gas forming of aluminium alloy tube using air filled into sealed tube and resistance heating, *Procedia Engineering*, Vol. 81, No. 31, pp. 2237-2242, 2014.
- [14] T. Maeno, K.-i. Mori, K. Adachi, Gas forming of ultra-high strength steel hollow part using air filled into sealed tube and resistance heating, *Journal of Materials Processing Technology*, Vol. 214, No. 1, pp. 97-105, 2014.
- [15] T. Maeno, K.-i. Mori, K. Fujimoto, Hot gas bulging of sealed aluminium alloy tube using resistance heating, *Manufacturing Review*, Vol. 1, No. 5, pp. 31-38, 2014.
- [16] M. Nasrollahzade, H. Moslemi Naeini, S. J. hashemi, B. Abbaszadeh⁴, J. Shahbazi Karami, Experimental investigation of Aluminum tubes hot gas forming and production of square cross-section specimens, *Modares Mechanical Engineering*, Vol. 15, No. 12, pp. 442-435, 2015. (in Persian) (فارسی)
- [17] D. Kalynmoy, Multi-objective optimization using evolutionary algorithms, *Multi-Objective Optimization*, Vol. 16, No. 5, pp. 88-89, 2001.
- [18] U. Caydas, A. Hascalik, Use of the grey relational analysis to determine optimum laser cutting parameters with multi-performance characteristics, *Optics & laser technology*, Vol. 40, No. 7, pp. 987-994, 2008

از بهینه‌سازی و شبیه‌سازی عددی مورد مقایسه قرار گرفته است. مشاهده می‌شود مدل رگرسیونی و الگوریتم ژنتیک توانسته است با دقت خوبی نقطه بهینه را پیش‌بینی کند.

در انتهای، بعد از آنکه پارامترهای بهینه با استفاده از مدل رگرسیونی و الگوریتم ژنتیک حاصل شد و نتایج آن با شبیه‌سازی عددی مورد مقایسه قرار گرفت، با استفاده از پارامترهای بهینه، نمونه‌ای توسط مجموعه شکل‌دهی دمشی در دمای C 500 تولید شد. نمونه تولید شده با استفاده از پارامترهای بهینه در شکل 17 نشان داده شده است.

8- نتیجه‌گیری

در این پژوهش، تولید نمونه‌های مربعی با استفاده از روش شکل‌دهی با دمash گاز در دماهای بالا بر روی لوله‌های آلومینیومی 6063 مورد مطالعه و آزمایش قرار گرفت و دقت مدل‌های شبکه عصبی و رگرسیونی در پیش‌بینی خروجی‌های فرآیند بررسی شد و درنهایت با استفاده از مدل رگرسیونی و الگوریتم ژنتیک، پارامترهای بهینه فرآیند بدست آمد. نتیجه‌گیری به دست آمده به شرح زیر است:

1. فشار داخلی با 21.3% تاثیر در شعاع گوشه و کمینه ضخامت و تغذیه محوری با 27.5% تاثیر در بیشینه ضخامت مهمترین عامل‌های تاثیرگذار در این پارامترهای خروجی می‌باشد.

2. نتایج شبیه‌سازی عددی تطابق خوبی با نتایج عملی دارد و نرم‌افزار اجزای محدود با دقت خوب و خطای کمی، نتایج را در فرآیند شکل‌دهی دمشی در دماهای بالا پیش‌بینی کرده است.

3. رگرسیون خطی بین نتایج شبیه‌سازی عددی و نتایج حاصل از مدل رگرسیونی و شبکه عصبی نشان می‌دهد مدل رگرسیونی با دقت بیشتری خروجی‌ها را پیش‌بینی می‌کند به طوری که میانگین ضرایب همبستگی در مدل رگرسیونی برابر 0.986 و در مدل عصبی 0.936 می‌باشد.

جدول 4 مقایسه نتیجه حاصل از شبیه‌سازی عددی و مدل رگرسیونی در نقطه بهینه
نهایی

Table 4 Comparison between simulation and regression model result in optimum point

بیشینه ضخامت	کمینه ضخامت	شعاع گوشه	
2.01mm	0.830mm	4.56mm	شبیه‌سازی
1.93mm	0.808mm	4.43mm	بهینه‌سازی
4.4%	2.8%	3%	درصد خطای



Fig. 17 final specimen produced by using the optimal parameters

شكل 17 قطعه نهایی تولید شده با استفاده از پارامترهای بهینه